

Ultimo aggiornamento delle informazioni: Aprile 2025

Configurazione di prodotto: RT86.S4

RT86.S4: Corpo illuminante L=880 - Warm White - - DALI integrato - Ottica Very Wide Flood (Down) - 62.3W 8265lm - 3000K - CRI 90 - Nero/Nero/Nero Trasparente

**Codice prodotto**

RT86.S4: Corpo illuminante L=880 - Warm White - - DALI integrato - Ottica Very Wide Flood (Down) - 62.3W 8265lm - 3000K - CRI 90 - Nero/Nero/Nero Trasparente

Descrizione tecnica

Corpo illuminante realizzato in estrusione di alluminio verniciato, cornice e tappi in materiale termoplastico stampato ad iniezione. Ottica Very Wide Flood (80°) in versione Space Opti-Diamond (PMMA) con cover posteriore disponibile in versione Bianca (Bianco trasparente) o Nera (Nero Trasparente). Alimentatore dimmerabile DALI integrato con sorgente LED (Mid-Power) monocromatica Warm White (3000K) CRI90 ad emissione diretta.

Installazione

A binario tensione di rete

Colore

Nero/Nero/Nero Trasparente (S4)

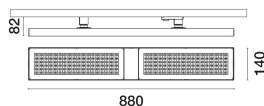
Peso (Kg)

2.73

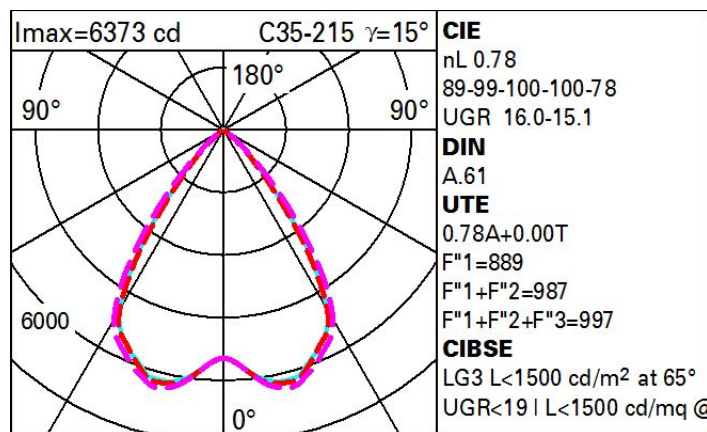
Montaggio

binario dali/binario trifase

Soddisfa EN60598-1 e relative note

**Dati tecnici**

| | | | |
|--|-------|--|---|
| Im di sistema: | 8346 | Codice lampada: | LED |
| W di sistema: | 66 | Numero di lampade per vano ottico: | 1 |
| Im di sorgente: | 10700 | Codice ZVEI: | LED |
| W di sorgente: | 66 | Numero di vani ottici: | 1 |
| Efficienza luminosa (lm/W, dati di sistema): | 126.5 | Power factor: | Vedi istruzioni di installazione |
| Im in modalità emergenza: | - | Corrente di spunto (in-rush): | 10 A / - μs |
| Flusso totale emesso a 90° o superiore [Lm]: | 0 | Massimo numero di apparecchi collegabili a ogni interruttore automatico: | B10A: 12 apparecchi C10A: 20 apparecchi C16A: 34 apparecchi |
| Light Output Ratio (L.O.R.) [%]: | 78 | % minima di dimmerazione: | 1 |
| CRI (minimo): | 90 | Protezione alle sovratensioni: | 2kV Modo comune e 1kV Modo differenziale |
| Temperatura colore [K]: | 3000 | Control: | DALI-2 |
| MacAdam Step: | 3 | | |

Polare

Coefficienti di utilizzazione

| R | 77 | 75 | 73 | 71 | 55 | 53 | 33 | 00 | DRR |
|------|----|----|----|----|----|----|----|----|-----|
| K0.8 | 66 | 62 | 59 | 56 | 61 | 58 | 58 | 55 | 70 |
| 1.0 | 70 | 66 | 63 | 61 | 65 | 62 | 62 | 59 | 76 |
| 1.5 | 75 | 72 | 69 | 67 | 71 | 69 | 68 | 65 | 84 |
| 2.0 | 78 | 75 | 74 | 72 | 74 | 73 | 72 | 69 | 89 |
| 2.5 | 79 | 78 | 76 | 75 | 76 | 75 | 74 | 72 | 92 |
| 3.0 | 81 | 79 | 78 | 77 | 78 | 77 | 76 | 74 | 94 |
| 4.0 | 82 | 81 | 80 | 79 | 79 | 79 | 77 | 75 | 96 |
| 5.0 | 82 | 82 | 81 | 80 | 80 | 79 | 78 | 76 | 97 |

Curva limite di luminanza

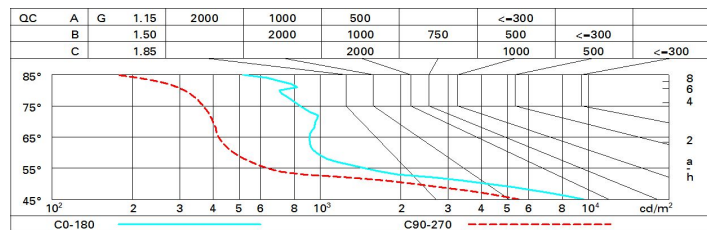


Diagramma UGR

| Corrected UGR values (at 10700 lm bare lamp luminous flux) | | | | | | | | | | | |
|--|------|---------------------|------|------|------|------|-------------------|------|------|------|------|
| Reflect.: ceiling/cav walls work pl. Room dim x y | | viewed crosswise | | | | | viewed endwise | | | | |
| | | 0.70 | 0.70 | 0.50 | 0.50 | 0.30 | 0.70 | 0.70 | 0.50 | 0.50 | 0.30 |
| | | 0.50 | 0.30 | 0.50 | 0.30 | 0.30 | 0.50 | 0.30 | 0.50 | 0.30 | 0.30 |
| | | 0.20 | 0.20 | 0.20 | 0.20 | 0.20 | 0.20 | 0.20 | 0.20 | 0.20 | 0.20 |
| 2H | 2H | 16.5 | 17.2 | 16.8 | 17.4 | 17.7 | 15.6 | 16.4 | 15.9 | 16.6 | 16.8 |
| | 3H | 16.4 | 17.0 | 16.7 | 17.3 | 17.6 | 15.5 | 16.2 | 15.8 | 16.4 | 16.7 |
| | 4H | 16.3 | 16.9 | 16.7 | 17.2 | 17.5 | 15.4 | 16.0 | 15.8 | 16.3 | 16.6 |
| | 6H | 16.3 | 16.8 | 16.6 | 17.1 | 17.5 | 15.4 | 15.9 | 15.7 | 16.2 | 16.6 |
| | 8H | 16.3 | 16.8 | 16.6 | 17.1 | 17.5 | 15.3 | 15.9 | 15.7 | 16.2 | 16.5 |
| | 12H | 16.2 | 16.7 | 16.6 | 17.1 | 17.4 | 15.3 | 15.8 | 15.7 | 16.1 | 16.5 |
| 4H | 2H | 16.3 | 16.9 | 16.6 | 17.2 | 17.5 | 15.5 | 16.1 | 15.8 | 16.4 | 16.7 |
| | 3H | 16.2 | 16.7 | 16.6 | 17.0 | 17.4 | 15.3 | 15.8 | 15.7 | 16.2 | 16.5 |
| | 4H | 16.1 | 16.6 | 16.5 | 16.9 | 17.3 | 15.3 | 15.7 | 15.7 | 16.1 | 16.5 |
| | 6H | 16.1 | 16.5 | 16.5 | 16.9 | 17.3 | 15.2 | 15.6 | 15.6 | 16.0 | 16.4 |
| | 8H | 16.0 | 16.4 | 16.5 | 16.8 | 17.3 | 15.1 | 15.5 | 15.6 | 15.9 | 16.3 |
| | 12H | 16.0 | 16.3 | 16.5 | 16.8 | 17.2 | 15.1 | 15.4 | 15.5 | 15.8 | 16.3 |
| 8H | 4H | 16.0 | 16.4 | 16.4 | 16.8 | 17.2 | 15.2 | 15.5 | 15.6 | 15.9 | 16.4 |
| | 6H | 16.0 | 16.2 | 16.4 | 16.7 | 17.2 | 15.1 | 15.4 | 15.6 | 15.8 | 16.3 |
| | 8H | 15.9 | 16.2 | 16.4 | 16.6 | 17.1 | 15.1 | 15.3 | 15.5 | 15.8 | 16.3 |
| | 12H | 15.9 | 16.1 | 16.4 | 16.6 | 17.1 | 15.0 | 15.2 | 15.5 | 15.7 | 16.2 |
| 12H | 4H | 16.0 | 16.3 | 16.4 | 16.7 | 17.2 | 15.1 | 15.5 | 15.6 | 15.9 | 16.3 |
| | 6H | 15.9 | 16.2 | 16.4 | 16.6 | 17.1 | 15.1 | 15.3 | 15.5 | 15.8 | 16.3 |
| | 8H | 15.9 | 16.1 | 16.4 | 16.6 | 17.1 | 15.0 | 15.2 | 15.5 | 15.7 | 16.2 |
| Variations with the observer position at spacing: | | | | | | | | | | | |
| S = | 1.0H | 3.6 / -8.7 | | | | | 3.8 / -9.6 | | | | |
| | 1.5H | 6.3 / -9.7 | | | | | 6.2 / -10.3 | | | | |
| | 2.0H | 8.3 / -10.3 | | | | | 8.2 / -10.6 | | | | |